

IV-97 路面のすべり抵抗と自動車の運動

建設省土木研究所 正員 市原薰

1. まえがき

道路上の自動車の運動は路面のすべり抵抗との関係から明らかにされるものが多い。従来これらについて各種の計算式が用いられていました。最近路面のすべり抵抗に関する性質がかなり明らかになつたので、これによつてさらに正確な新しい計算式を作成いたしました。以下にその結果について述べます。

2. 発進駆動時の縦横断こう配とすべり抵抗

道路上で発進駆動が問題に左るものは雪氷路面とか、特に急こう配の道路区間である。発進駆動の可能な道路の縦断こう配(j)と路面のすべり摩擦係数(f_c)の関係は次式でえられる。

$$f_c \cdot \alpha = j + f_r \quad (1)$$

ここで α は自動車の駆動輪にかかる荷重の全重量に対する比、 f_r はころがり抵抗係数である。現在わが国で使用されていふる自動車を調査した結果より一般的の最低値は乗用車で0.41トラックで0.43トランクで0.38程度である。さうに縦断こう配(j)と横断こう配(i)が重なった地盤での発進可能こう配を考える。自動車が合成こう配の方向に発進駆動すればその関係式は(1)式に準じて考えられる。 α までは自動車は道路中心線方向に発進するものと考えると次式のようになる。

$$f_c = \left\{ \left(\frac{j + f_r}{\alpha} \right)^2 + i^2 \right\}^{1/2} \quad (2)$$

種々の路面について(2)式の計算結果をまとめたものが図-1である。図によると横断こう配の影響は比較的少ないことを分了。

3. 制動停止距離とすべり摩擦係数

従来制動停止距離(S)と制動開始時の速度(V)およびすべり摩擦係数(f)の関係は次式で計算されていふ。

$$S = \frac{V^2}{2 \cdot g \cdot f} \quad (3)$$

しかし(3)式は路面のすべり摩擦係数が一定の場合、すなはち乾燥路面および雪氷路面に適用される。湿润路面では一般にすべり摩擦係数は速度と共に変化する。その関係を $f = aV^2 + bV + C$ とすると制動停止距離は次式のようになら。

$$S = -\frac{1}{a \cdot g} \log_e \left(\frac{\cos \left(\tan^{-1} \left(\frac{-2aV - b}{D} \right) \right)}{\cos \left(\tan^{-1} \left(\frac{-b}{D} \right) \right)} \right) - \frac{b}{a \cdot g \cdot D} \left\{ \tan^{-1} \left(\frac{-b}{D} \right) - \tan^{-1} \left(\frac{-2aV - b}{D} \right) \right\} \quad (4)$$

ここで $D = \sqrt{4ac - b^2}$ であり、 $a \cdot b \cdot c$ は路面状況によって決まる常数である。(3)式と(4)式による計算結果は図-2のとおりである。(4)式による制動停止距離は常に従来の(3)式によるものよりも小さく、速度の大きい場合および摩擦係数の小さな場合は特にその差が大きくなりほぼ20%となる。これは一定速度で測定した摩擦係数と制動停止距離から計算した摩擦係数に差があることを表わしている。

4. 曲線部での走行時の横すべりと制動時の偏走

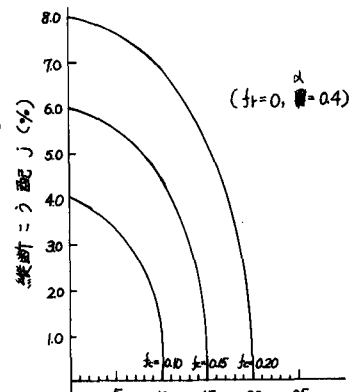


図-1. 縦断こう配、横断こう配とその合成方向に對応する摩擦係数との關係。

従来半径(R)の曲線部を走行している自動車の遠心力と横すべり摩擦係数(f)との均合は次式のとおり表わす水である。

$$(f+i)g = \frac{V^2}{R} \quad (5)$$

しかし、ま曲線部を走行中にロッカ制動するとき(5)式には關係なく自動車は斜め方向に偏走する。自動車の走行中心線からの移動量をEとすると次のように近似計算することができる。ここで X , V_x , Y , V_y は走行方向および斜めに直角方向の移動量と速度である。

$$\begin{aligned} V_{xn+1} &= -\frac{g \cdot f \cdot dt}{2 \left(1 + \frac{V_{xn}^2}{V_{yn}^2}\right)^{1/2}} + \frac{1}{2} \left\{ \left(\frac{(g \cdot f \cdot dt)^2}{\left(1 + \frac{V_{xn}^2}{V_{yn}^2}\right)} + \left(V_{xn}^2 - \frac{g \cdot f \cdot V_{xn} \cdot dt}{\left(1 + \frac{V_{xn}^2}{V_{yn}^2}\right)^{1/2}} \right)^2 \right)^{1/2} \right\} \\ V_{yn+1} &= -\frac{g \cdot A \cdot dt}{2} + \frac{1}{2} \left\{ (g \cdot A \cdot dt)^2 + 4(V_{yn}^2 - g \cdot A \cdot V_{yn} \cdot dt)^{1/2} \right\} \\ A &= \frac{f}{\left(\frac{V_{xn}^2}{V_{yn}^2} + 1\right)^{1/2}} - \frac{i_0}{\left\{1 + \left(\frac{\sum X}{R - \sum Y}\right)^2\right\}^{1/2}} \\ \sum X &= \sum_n V_{xn-i} \cdot dt \quad , \quad \sum Y = \sum_n V_{yn-i} \cdot dt \quad E_n = \left\{ (\sum X)^2 + (R - \sum Y)^2 \right\}^{1/2} - R \end{aligned} \quad (6)$$

(6)式による計算結果の一例を図-3に示す。従来曲線部の走行の安全性について主として(5)式によつて判断していたが、むしろ(6)式によつて判断すべきであり、図-3からも小曲線部の走行の危険性が十分考えられる。

道路構造含の解説と運用で規定されていゝる望ましい曲線半径もこれらを併せ考慮して定められたべきであり、現在の規定が適正であると考えられる。

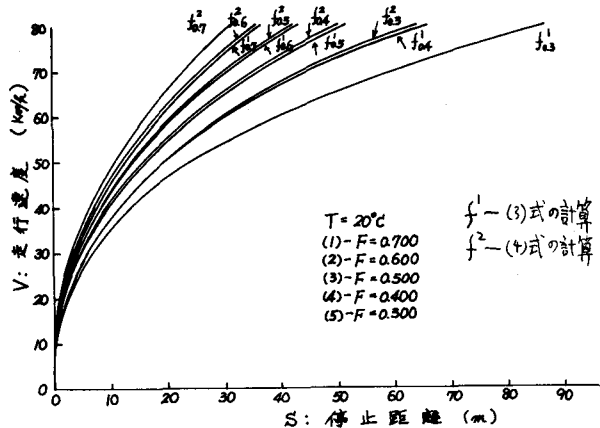


図-2 制動停止距離計算図(湿潤、普通気温)

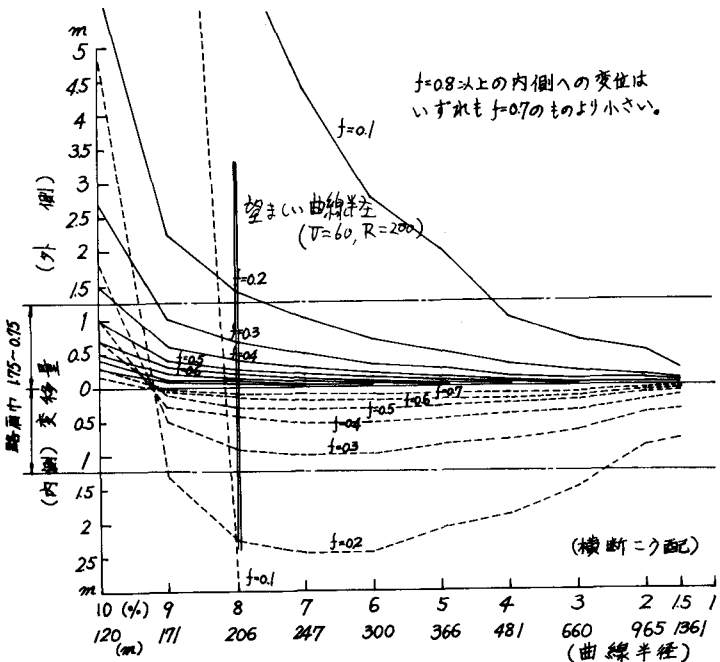


図-3 曲線部ロッカ制動時の移動量(設計速度 60km/h)